## ПОЛУЧЕНИЕ И ХАРАКТЕРИСТИКА РЕКОМБИНАНТНОГО S ДОМЕНА ПОВЕРХНОСТНОГО БЕЛКА VP1 НОРОВИРУСА

Лапин В. А. <sup>1</sup>, Новиков Д. В. <sup>1</sup>, Мохонова Е. В. <sup>1</sup>, Мелентьев Д. А. <sup>1</sup>, Цыганова М. И. <sup>1</sup>, Манакова Э. А. <sup>2</sup>, Новиков В. В. <sup>1</sup>

<sup>&</sup>lt;sup>1</sup> ФБУН Нижегородский научно-исследовательский институт эпидемиологии и микробиологии имени академика И.Н. Блохиной, Нижний Новгород, Россия <sup>2</sup> Общество с ограниченной ответственностью «ТИАС ЛОТУС», Нижний Новгород, Россия

# PREPARATION AND CHARACTERIZATION OF THE RECOMBINANT NOROVIRUS VP1 SURFACE PROTEIN S DOMAIN

Lapin V. A. a,

Novikov D. V. a,

Mokhonova E. V. a,

Melentyev D. A. a,

Tsyganova M. I. a,

Manakova A. A. b,

Novikov. V. V. a

<sup>&</sup>lt;sup>a</sup> Academician I.N. Blokhina Nizhny Novgorod Scientific Research Institute of Epidemiology and Microbiology, Nizhny Novgorod, Russia

<sup>&</sup>lt;sup>b</sup> TIAS LOTUS Limited Liability Company, Nizhny Novgorod, Russia

#### Резюме

**Введение.** Поверхностный VP1 норовируса состоит из двух доменов: оболочечного S домена и выступающего за пределы капсида P домена. За формирование внутреннего каркаса капсида отвечает домен S, образованный N-концевой последовательностью белка.

**Цель работы** - получить рекомбинантный S домен белка VP1 норовируса и охарактеризовать его иммуногенные и антигенные свойства.

**Материалы и методы.** Клонирование последовательности, кодирующей S домен белка VP1 норовируса, моделирование структуры поверхностных белков с помощью ресурса Swiss-model, микробиологические методы работы с клетками *E.coli*, которые являются продуцентами рекомбинантных белков, полимеразная цепная реакция, электрофорез нуклеиновых кислот в агарозном геле и белков в полиакриламидном геле, аффинная хроматография, иммуноферментный анализ, электронная микроскопия.

Результаты. Получена генетическая конструкция, кодирующая S рекомбинантный белка VP1 домен норовируса генотипа оптимизированная для высокоэффективной экспрессии в *E.coli*. Генетической конструкцией были трансформированы клетки E.coli штамма Rosetta 2. Подобраны И оптимизированы условия продукции очистки рекомбинантного белка. Получен стабильный, растворимый рекомбинантный белок, воспроизводящий S домен белка VP1 норовируса и образующий вирусоподобные частицы диаметром 30 нм. Иммунизация полученным белком вызывала наработку антител к нему, в том числе наработку низкоавидных антител класса IgM. При оценке антигенных свойств было показано, что в крови волонтеров присутствуют антитела, способные специфически взаимодействовать с рекомбинантным S доменом. Титры этих антител соответствовали титрам антител к полноразмерному белку VP1, но авидность антител была существенно ниже авидности антител

полноразмерному VP1. Вероятно это явление связано с локализацией S домена белка, который скрыт внутри вирусной частицы.

**Заключение.** Проведенные исследования позволили охарактеризовать антигенные и иммуногенные свойства рекомбинантного белка, воспроизводящего структуру S домена VP1 норовируса. Была показана способность S домена VP1 норовируса индуцировать иммунные реакции, а также формировать вирусоподобные частицы.

**Ключевые слова:** норовирус, S домен VP1, вирусоподобные частицы, антитела, иммуноферментный анализ, вакцины.

#### **Abstract**

**Introduction.** In the structure of the norovirus surface VP1, it consists of the S domain which N-terminal sequence is responsible for capsid formation, and P domain that extends beyond the capsid. Possibility of using S domain for preparing chimeric virus-like particles is shown.

**The aim** of the work is to obtain a recombinant VP1 protein S domain and to characterize its immunogenic and antigenic properties.

**Materials and methods.** Cloning of the sequence encoding VP1 protein S domain, modeling the structure of proteins, microbiological methods for working with E. coli cells producing recombinant proteins, polymerase chain reaction, electrophoresis of nucleic acids in an agarose gel and proteins in a polyacrylamide gel, affinity chromatography, enzyme immunoassay, electron microscopy were applied during the study.

Results. A genetic construct encoding the recombinant VP1 norovirus genotype GII.4 protein S domain optimized for highly efficient expression in E. coli is obtained. E. coli Rosetta 2 cells were transformed with the genetic construct. Conditions for protein production and purification were optimized. A soluble recombinant protein reproducing norovirus VP1 protein S domain and forming virus-like particles with a diameter of 30 nm is obtained. Immunization of mice with the obtained protein caused specific antibody production including low-avidity IgM antibodies. When assessing antigenic properties, it was shown that antibodies interacting with the recombinant S domain are found in the blood samples collected from volunteers. Antibody titers, but of lower avidity, specific to the latter corresponded to those against full-length VP1. Likely, it was due to the localization of the S domain inside the viral particle.

**Conclusion.** Antigenic and immunogenic properties of recombinant protein reproducing structure of norovirus VP1 S domain are characterized, and its ability to form virus-like particles is shown.

**Keywords**: norovirus, S domain VP1, virus-like particles, antibodies, immunoassay, vaccines.

## 1 Введение

1

28

29

Норовирусы (НВ) относятся к семейству Caliciviridae, род Norovirus и 2 3 занимают второе место в этиологической структуре вирусных острых кишечных инфекций после ротавирусов. При этом, в странах, где проводится 4 вакцинация против ротавирусной инфекции, НВ вышли на первое место [7, 5 12]. В 2024 году ВОЗ выделила приоритетные эндемичные патогены, в 6 вакцинах против которых существует наибольшая необходимость, и включила 7 в перечень таких патогенов НВ [11]. Геном НВ представлен позитивно-8 смысловой РНК и разделен на три открытые рамки считывания (ORF). ORF1 9 кодирует неструктурные белки, ORF2 кодирует главный структурный белок 10 VP1, формирующий капсид, а ORF3 кодирует второстепенный структурный 11 12 белок VP2, который обеспечивает стабильность вирусного капсида. На основании различий в строении VP1, выделяют несколько геногрупп HB. 13 Самой распространенной среди них является геногруппа GII, на долю которой 14 в Российской Федерации приходится до 80-90% случаев норовирусного 15 гастроэнтерита детей первых лет жизни. Геногруппа GII имеет несколько 16 генотипов, наиболее распространенным является генотип GII.4 [5, 1]. 17 расшифрована Структура капсида c рентгеновской 18 помощью кристаллографии с разрешением 3,4 Å [17]. В соответствии с полученными 19 данными капсидный белок VP1 состоит из двух доменов, соединенных 20 21 шарниром: оболочечного S домена и выступающего за пределы капсида Р домена, который содержит два субдомена, P1 и P2. Домен S образован N-22 концевыми аминокислотными остатками 1-225. Остатки от 50 до 225 23 сворачиваются в восьмицепочечную антипараллельную β-структуру. Домен S 24 содержит элементы, необходимые для образования капсида, а домен Р 25 формирует дугообразные выступы на внешней поверхности капсида, 26 обладающие высокой генетической изменчивостью и антигенностью. 27

воспроизводят вирион вируса [15]. При этом рекомбинантные белки, 30 воспроизводящие структуру отдельных доменов S и P, также способны к 31 сборке в ВПЧ [6,8]. Разработан метод создания химерных вирусоподобных 32 частиц, построенных из белков, в которых домен S VP1 сохранен, а домен P 33 заменен на белки других вирусов [19]. Такие вирусоподобные частицы 34 потенциально способны выступать в качестве кандидатов антигенной 35 составляющей различных комбинированных вакцин. Нами ранее были 36 получены и охарактеризованы ВПЧ, построенные из S домена VP1 норовируса 37 и поверхностных белков энтеровируса ECHO-30 или RBD SARS-CoV-2 [3, 4]. 38 Также был получен полноразмерный рекомбинантный VP1 норовирусного 39 капсида и in silico осуществлен анализ его эпитопов [2, 21]. 40

Однако, каков вклад эпитопов S домена VP1 НВ в иммуногенные свойства ВПЧ, построенных из химерных белков, остается неясным. Оценка иммуногенности S домена важна для понимания свойств химерных ВПЧ, являющихся антигенной основой кандидатных вакцин для профилактики вирусных инфекций [3, 4]. Изучения способности S домена VP1 НВ к индукции выработки антител ранее не проводилось. Цель настоящей работы состояла в получении рекомбинантного S домена белка VP1 НВ и в характеристике его иммуногенных и антигенных свойств.

## 2 Материалы и методы

41

42

43

44

45

46

47

48

49

50

51

52

53

54

55

56

57

58

Анализ и конструирование нуклеотидных последовательностей, дизайн олигонуклеотидов, расчёт молекулярной массы белка, изоэлектрической точки и коэффициента экстинкции осуществляли с помощью пакета программного обеспечения «Lasergene 7.1.0» («Dnastar, Inc.»). В работу была взята нуклеотидная последовательность VP1 эпидемического варианта НВ генотипа GII.4, выделенного на территории Нижегородской области Российской Федерации. Верификацию нуклеотидных последовательностей проводили с помощью секвенирования с использованием генетического анализатора «АВІ Prism 310» («Thermo Fisher Scientific»). Клетки *Escherichia* 

coli, штамм Rosetta 2 (DE3), трансформированные генетической конструкцией 59 на основе плазмиды pET22b и кодирующей SN HB, выращивали в среде LB-60 61 Miller pH 7,0. Индукцию синтеза белка проводили путём добавления изопропил-β-D-1-тиогалактопиранозида до конечной концентрации 0,5 мМ к 62 каждой культуре. Биомассу клеток получали центрифугированием, 63 лизировали в растворе, содержащем 25 мМ HEPES (рН 7,5), 1 M NaCl, 10% 64 глицерина, 1% Triton X-100, ДНКазы I (10 мкг/мл), РНКазыА (10 мкг/мл), 65 лизоцима (50  $MK\Gamma/MЛ$ ), мМ фенилметилсульфонилфторида, 0,266 дезинтегрировали ультразвуком с помощью «QSonica Q55» («QSonica 67 центрифугировали И добавляли промывочный 68 содержащий 25 мМ HEPES pH 7,5, 1 М NaCl, 10% глицерина, 1 М мочевины с 69 70 последующим центрифугированием. Выделение SN НВ проводили с помощью металлохелатной хроматографии в денатурирующих условиях с помощью 71 сорбента Ni-NTA Superflow («GEHealthcare»). Ренатурацию полученного 72 белка осуществляли путем диализа. Электрофорез в 12% полиакриламидном 73 геле в присутствии додецилсульфата натрия проводили общепринятым 74 Микрофотографии вирусоподобных частиц, образуемых SN, 75 методом. получали с помощью электронного микроскопа «HT7700» («Hitachi»). Для 76 иммунизации использовали самок мышей линии BALB/с возрастом 8 недель 77 и массой 16–18 г. Животных содержали в условиях вивария в соответствии с 78 79 межгосударственными стандартами ГОСТ 33216-2014 и ГОСТ 33215-2014. Биоматериал для исследования брали у мышей с соблюдением принципов 80 гуманности, изложенных в директивах европейского сообщества (86/609/ЕС). 81 Исследования проводили согласно биоэтическим и этическим принципам, 82 установленным Хельсинкской декларацией (принятой в июне 1964 г. и 83 пересмотренной в октябре 2013 г). Для оценки антигенных свойств 84 рекомбинантного белка использовали 95 образцов плазмы крови, полученных 85 из диагностического центра «Гемохелп» (ООО «ТИАС ЛОТУС») от лиц в 86 возрасте 19–44 лет, обратившихся для проведения диагностических 87

исследований и давших письменное согласие на использование 88 биоматериала в исследовании. AT к SN HB определяли с помощью 89 твёрдофазного иммуноферментного анализа. В качестве сравнения 90 использовали полноразмерный рекомбинантный белок VP1, полученный 91 ранее [2]. Белки сорбировали в лунки планшетов в концентрации 1 мкг/мл в 92 течение 18 ч при 20°C. Тестируемую сыворотку крови мышей разводили с 93 шагом 2, тестируемую плазму крови волонтёров 94 разводили перед тестированием с шагом 10. В качестве отрицательного контроля использовали 95 сыворотку не иммунизированных мышей. При определении суммарных АТ в 96 конъюгированные лабораторных животных использовали 97 пероксидазой корня хрена кроличьи АТ против суммарной фракции 98 99 иммуноглобулинов мыши И IgM-антител. Для предотвращения неспецифических реакций образцы сыворотки крови преинкубировали в 100 101 объемном соотношении 2:1 с лизатом клеток E. coli Rosetta 2 (DE3), полученным обработкой бактериальных клеток 1%-ным Triton X-100 и 102 103 четырехкратным замораживанием-оттаиванием с последующим осветлением с помощью центрифугирования. 104

При определении АТ человека использовали конъюгированные с пероксидазой хрена кроличьи АТ против иммуноглобулинов классов G и М (IgG и IgM). Реакцию визуализировали добавлением 100 мкл раствора 0,02% тетраметилбензидина, содержащего 0,004% перекиси водорода, рН 5,0. Оставляли планшет на 10 минут в тёмном месте. Во все лунки добавляли по 50 мкл стоп-реагента (1N NaOH) и измеряли оптическую плотность в двухволновом режиме, при основной длине волны 450 нм и при референсной длине волны в диапазоне 620 нм. Для измерения оптической плотности использовали микропланшетный ридер Infinite M200 Pro (TECAN, Austria) с 7.2 Magellan (TECAN, программным обеспечением Austria). За положительную реакцию принимали значение оптической плотности больше среднего значения отрицательного контроля, умноженного на 3. При

105

106

107

108

109

110

111

112

113

114

115

116

образцы антител анализировали дублях 117 определении авидности В иммуноферментным методом, с описанными ниже модификациями. Перед 118 добавлением коньюгата в одну из двух лунок каждого из образцов вносили 100 119 мкл раствора 8М мочевины в ФСБ-Т, инкубировали в течение 3 мин, отмывали 120 121 5 раз, и проводили ИФА как описано выше. Индекс авидности рассчитывали, как отношение величины ОП в лунках с 8М мочевиной, к величине ОП в 122 лунках без мочевины, полученной для одного образца сыворотки крови, 123 выраженной в процентах. Каждый тест выполняли в трех повторностях. 124 Трехмерные модели SN и HBA строили с использованием веб-сервера Swiss-125 (https://swissmodel.expasy.org/interactive/EVMn7a/models/) 126 model специализирующегося на моделировании трёхмерных структур белков, на 127 128 основе их аминокислотной последовательности.

Анализ полученных данных проводили с помощью программного обеспечения «Microsoft Excel» («Microsoft»). Статистическую обработку данных проводили с использованием программы «Graph Pad Prism 8» («Graph Pad Software»). Различия в данных считали статистически достоверными при  $p \leq 0.05$ .

## 3 Результаты

129

130

131

132

133

134

135

136

137

138

139

140

141

142

143

144

145

Для получения плазмиды, кодирующей SN, использовали созданную ранее генетическую конструкцию на основе плазмиды рЕТ22b, кодирующую полноразмерный белок VP1 НВ с сайтом расщепления для эндонуклеазы рестрикции NdeI и нуклеотидной последовательностью, кодирующей на Сконце шесть остатков гистидина, стоп-кодон (TAA) и сайт для рестриктазы XhoI. На границе регионов, кодирующих шарнирный и P регионы белка VP1 НВ, был внесен сайт для эндонуклеазы рестрикции Hind III [2]. Плазмиду расщепляли с использованием рестриктазы HindIII, что приводило к выпадению последовательности, кодирующей P регион белка VP1 (Puc. 1). Оставшийся фрагмент плазмидной ДНК, содержащий последовательность, кодирующую S-домен и шарнирный участок VP1 (SN), лигировали и затем

- 146 методами молекулярного клонирования отбирали корректные клоны.
- 147 Правильность нуклеотидной последовательности верифицировали с помощью
- 148 секвенирования.
- 149 Кодирующей SN плазмидой трансформировали штамм *E. coli* Rosetta 2
- 150 (DE3). Был подобран оптимальный состав среды и условия культивирования
- 151 клеток  $E.\ coli$ . Максимальная плотность культуры клеток  $E.\ coli\ (OD600 = 2,8)$
- 152 соответствовала 4,5 г биомассы на 1 л культуры в среде LB, содержащей 0,5%
- 153 глицерина и 25 мМ фосфатного буфера рН 7,4. Оптимальная концентрация
- 154 изопропил-β-D-1-тио-галактопиранозида составила 0,5 мМ, оптимальная
- 155 температура для экспрессии белков 30°C, время индукции 4-6 ч.
- 156 Эффективность продукции белка, составила 25–40 мг белка на 1 л клеточной
- 157 культуры. Белок формировал «тельца включения».
- 158 Очистка рекомбинантного белка с помощью металл-хелатной
- 159 хроматографии в присутствии 8 М мочевины и последующий рефолдинг
- 160 путём диализа против раствора, содержащего 25 мМ HEPES pH 7,5, 150 мМ
- 161 NaCl и 5% глюкозы, позволили получить растворимый белок, состоящий из
- 162 234 аминокислот. Белок имел расчётную молекулярную массу 25,3 кДа,
- 163 изоэлектрическую точку, равную 5,86, и коэффициент экстинции 1,23.
- 164 Электрофореграмма очищенного белка представлена на рисунке 2а. Как видно
- из представленного рисунка, полученный белок имеет молекулярную массу,
- 166 соответствующую расчетной.
- Белок наработан в препаративных количествах и использован для
- 168 оценки способности формировать ВПЧ вирусоподобные частицы,
- определения антигенных свойств и для иммунизации лабораторных мышей.
- 170 На рис. 26 представлена электронно-микроскопическая фотография,
- 171 свидетельствующая о способности рекомбинантного SN образовывать ВПЧ
- диаметром 30 нм, что соответствует данным других авторов [6].
- 173 С помощью pecypca Swiss-model использующего шаблоны из базы
- 174 данных PDB (Protein Data Bank) и полученных нуклеотидных

175 последовательностей были спроектированы трехмерные модели 176 рекомбинантных белков SN и HB. На рисунке 3 продемонстрированно, что N-177 концевая часть молекулы VP1, расположенная в основании модели, 178 соответствует трехмерной модели рекомбинантного SN.

179 С помощью иммуноферментного анализа проведена сравнительная оценка антигенных свойств белка SN в сопоставлении со свойствами 180 полноразмерного VP1. Частота обнаружения AT класса IgG против SN в 181 плазме крови волонтеров составила 13,4%, частота обнаружения антител 182 класса IgG против полноразмерного VP1 HB у волонтеров составила 11,4 %. 183 184 Статистически значимые различия В частоте встречаемости положительных волонтеров не обнаружены (Р>0,05). Частота выявления АТ 185 класса IgM против SN и VP1 составила соответственно 9,4 и 7,2% (P<0,05). 186 AT против SN обнаруживались в плазме крови всех анти-VP1 положительных 187 188 волонтеров. Сопоставлена оптическая плотность иммуноферментной реакции при определении AT классов IgG и IgM к двум указанным белкам в плазме 189 крови АТ-положительных волонтеров и проведен корреляционный анализ 190 полученных данных. Результаты представлены на рис. 4. Средняя оптическая 191 плотность, зарегистрированная при определении AT классов IgG и IgM против 192 SN, была статистически значимо в 1,41 и в 1,78 раза выше, чем для антител 193 против VP1 (P<0,05), что вероятно связано с более высокой молярностью 194 195 сорбируемого в лунки планшетов раствора SN. При этом величины оптической плотности с высокой степенью достоверности положительно 196 коррелировали друг с другом. Авидность AT классов IgG и IgM к SN составила 197 22,7 и 10,2%. Представленные результаты свидетельствуют о том, что у части 198 волонтеров в плазме крови присутствуют AT классов IgG и IgM, 199 взаимодействующие с рекомбинантным SN. Однако, антитела имеют 200 невысокий индекс авидности, который значительно ниже индекса авидности 201 антител класса IgG против VP1, составившего, в соответствии с полученными 202 ранее данными, величину, равную 54% [2]. 203

204

205

206

207

208

209

210

211

212

213

214

215

216

217

218

219

220

221

222

223

224

225

226

227

228

229

230

231

232

Иммунизация мышей очищенным SN приводила к образованию AT, имеющих в среднем титр, соответствующий 1:2000 с максимальным значением, равным 1:4000. Использование в качестве адъюванта гидроокиси алюминия вызывало намного более высокий антительный ответ, достигавших у отдельных мышей титров 1:100000 и выше. Среднее значение титра суммарных AT составило 1:56000 и соответствовало среднему титру AT при иммунизации полноразмерным VP1. Среднее значение титра IgM-антител против SN при иммунизации животных чистым SN было значительно ниже и равнялось 1:1300 с максимальными значениями, достигавшими у отдельных животных 1:4000. Использование адьюванта приводило к повышению среднего титра IgM-антител в два раза.

Для оценки <del>специфичность</del> специфичности иммуноферментного определения анти-SN проводили реакцию нейтрализации рекомбинантными белками в повышающихся концентрациях. Преинкубация сыворотки крови иммунизированных мышей с равным объемом раствора, содержащего рекомбинантные белки в концентрации от 4,5х10-11 до 4,5х10-5  $M\Gamma/MЛ$ , приводила К постепенному снижению интенсивности иммуноферментной реакции до фоновых значений, что свидетельствует о специфичности реакции.

Авидность суммарных мышиных АТ, полученных при иммунизации животных рекомбинантным SN без адьюванта, составила 13%, в присутствии адьюванта - 40%. В то же время авидность АТ против VP1 НВ без адъюванта равнялась 60%. Сходная картина получена для антител класса IgM. Таким образом, мыши, иммунизированные рекомбинантным SN, продуцировали АТ, взаимодействующие с этим белком, но авидность АТ оказалась ниже, чем у АТ против полноразмерного VP1 НВ.

## 4 Обсуждение

Норовирусный белок VP1 обладает несколькими функциями в составе вирусной частицы. Первая заключается в формировании капсида вируса.

Самосборка вирусных частиц идет за счет межмолекулярных контактов S 233 домена белка VP1. При этом Р домен, стабилизируя вирусную частицу, несет 234 235 основные антигенные детерминанты, распознаваемые иммунной системой. Однако, S домен, несмотря на то, что он в основном скрыт в глубине капсида, 236 также несет ряд идентифицированных с помощью моноклональных антител 237 В-клеточных Полученный 238 антигенных детерминант [7,14,16].нами рекомбинантный SN обладал способностью формировать вирусоподобные 239 частицы, которые ожидаемо имели несколько меньший диаметр в сравнении с 240 диаметром частиц, образуемых полноразмерным белком VP1 [6]. Анализ 241 способности SN связываться с антителами крови волонтеров показал, что 242 частота обнаружения AT класса IgG против SN оказалась сопоставимой с 243 244 частотой обнаружения АТ против полноразмерного белка. Более того, АТ против SN содержались в крови волонтеров несколько чаще, чем антитела 245 246 против VP1. При этом они выявлялись у всех волонтеров, у которых обнаруживались AT против VP1, что свидетельствует о согласованной 247 наработке AT к эпитопам S домена и полноразмерного VP1. Более высокая 248 частота обнаружения AT к SN видимо связана с наличием в крови волонтеров 249 АТ к эпитопам, скрытым в структуре целой вирусной частицы, но 250 открывающимся для антител в отсутствие Р домена. Выполненное ранее на 251 основе анализа электронно-микроскопических изображений моделирование 252 структуры ВПЧ, построенных из полноразмерного белка VP1 HB, показало, 253 что Р домен обладает высокой подвижностью. Это приводит к доступности 254 255 участков S домена для распознавания антителами. Кроме того, в составе ВПЧ S может быть доступен антителам за счет частичного протеолиза VP1, 256 257 приводящего к отщеплению домена Р [18]. 258

Считается, что вирус-нейтрализующие антитела обычно имеют высокую, превышающую 50% авидность, позволяющую им выполнять свои антивирусные свойства [13, 10] Авидность АТ к полученному нами рекомбинантному SN как в крови волонтеров, так и иммунизированных SN

259

260

261

268

269

270

271

272

273

274

275

276

277

278

279

280

281

282

283

284

285

286

287

288

289

290

мышей, оказалась для антител класса IgG ниже 50%, что предполагает их 262 невысокую способность к нейтрализации вируса в отличие от АТ к 263 264 полноразмерному VP1. To есть, SN несет В-клеточные эпитопы, 265 взаимодействующие с антителами с авидностью, меньшей чем эпитопы полноразмерного VP1. Вероятно это связано с наличием в его структуре Р 266 домена. 267

Заметим, что с применением анализа in silico в составе S домена идентифицировано несколько Т-клеточных эпитопов, презентируемых молекулами HLA I и II классов, то есть способных активировать как цитотоксический ответ Т-клеток, так и Т-хелперный ответ [21]. При этом S домен более консервативен в эволюционном плане, чем Р домен, что не удивительно, поскольку сохранение его структуры обеспечивает способность к формированию вирусного капсида. Одновременно консервативность структуры обеспечивает его способность к индукции иммунных реакций, направленных против норовирусов разных генотипов и разных геногрупп [9]. Это является важным свойством при потенциальном использовании рекомбинантных норовирусных ВПЧ в качестве основы вакцины не только для профилактики норовирусной инфекции, но и в качестве основы комбинированных вакцин, основанных на ВПЧ, построенных из химерных белков, включающих в свой состав SN. В результате выполнения настоящей работы получен рекомбинантный SN. Продемонстрировано, что в крови здоровых волонтеров присутствуют антитела классов IgM и IgG к данному белку, частота встречаемости которых коррелирует с частотой встречаемости VP1 HB. полноразмерному Мыши, иммунизированные рекомбинантным SN, нарабатывали антитела к этому белку, хотя их авидность была ниже авидности антител к полноразмерному VP1 HB.

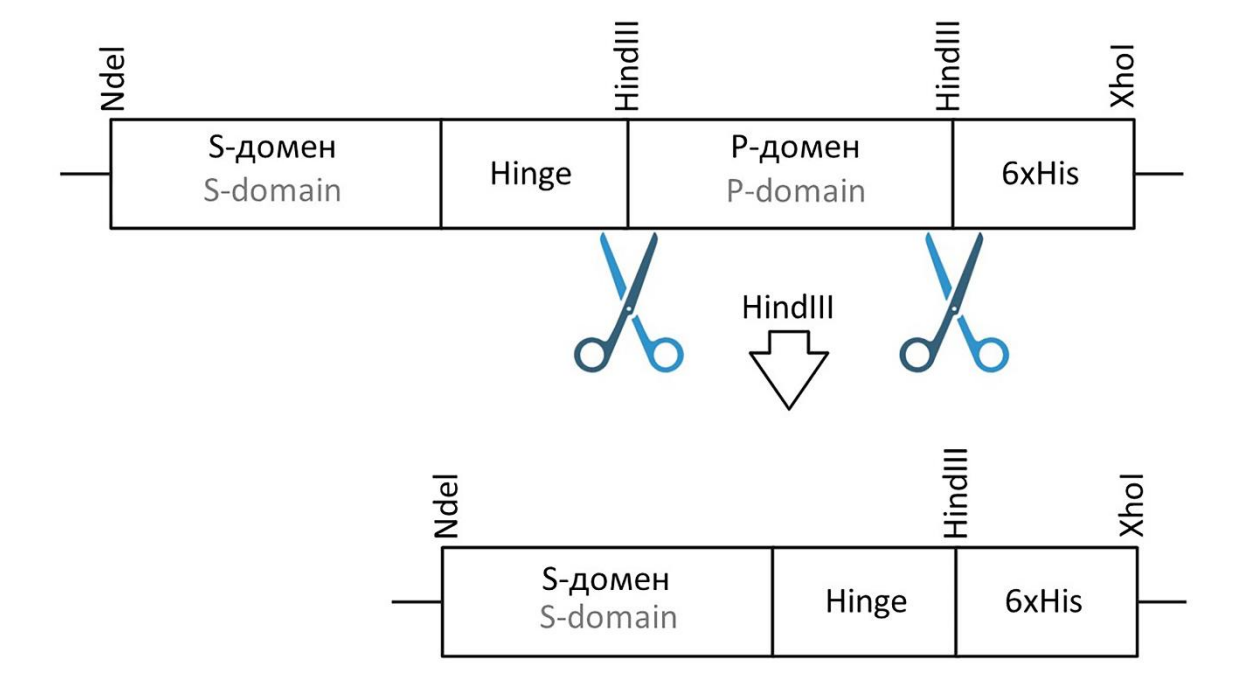
Полученные результаты подтверждают способность S домена VP1 норовируса к индукции иммунных реакций на примере рекомбинантного SN и указывают на возможность получения комбинированных вакцин на основе

- 291 химерных ВПЧ, направленных против разных инфекций, одна из которых
- 292 норовирусная.

## РИСУНКИ

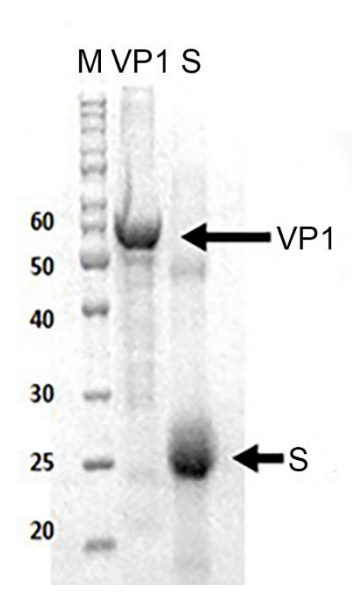
**Рисунок 1.** Схема получения генетической конструкции для экспрессии SN в клетках  $E.\ coli.$ 

**Figure 1.** Schematic of obtaining a genetic construct for SN expression in E. coli cells.



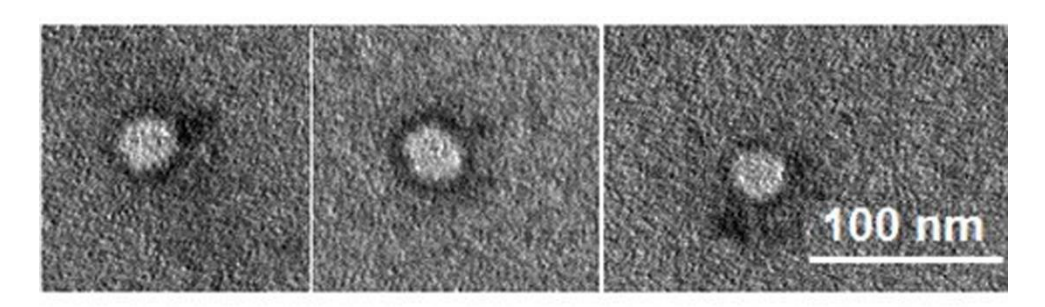
**Рисунок 2а.** Электрофореграммы хроматографически очищенных полноразмерного VP1 и белка SN HB.

**Figure 2a.** Electrophoregrams of chromatographically purified full-length VP1 and SN norovirus protein.



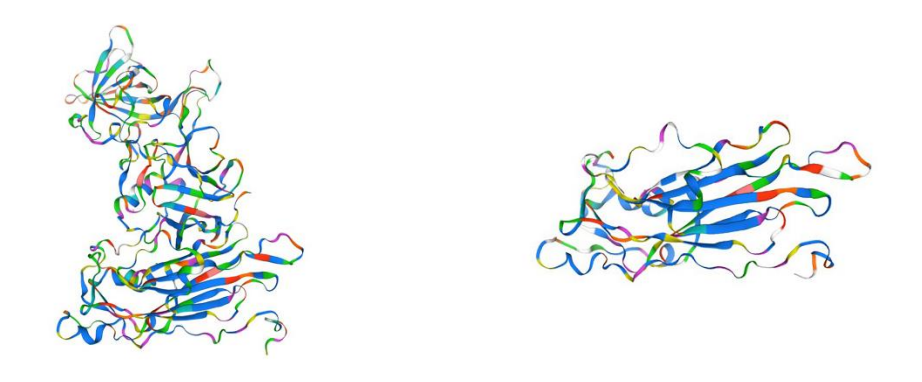
**Рисунок 26.** Электронно-микроскопические фотографии ВПЧ, образованных рекомбинантным SN HB.

**Figure 2b.** Electron microscopic photographs of VLP formed by recombinant SN norovirus.



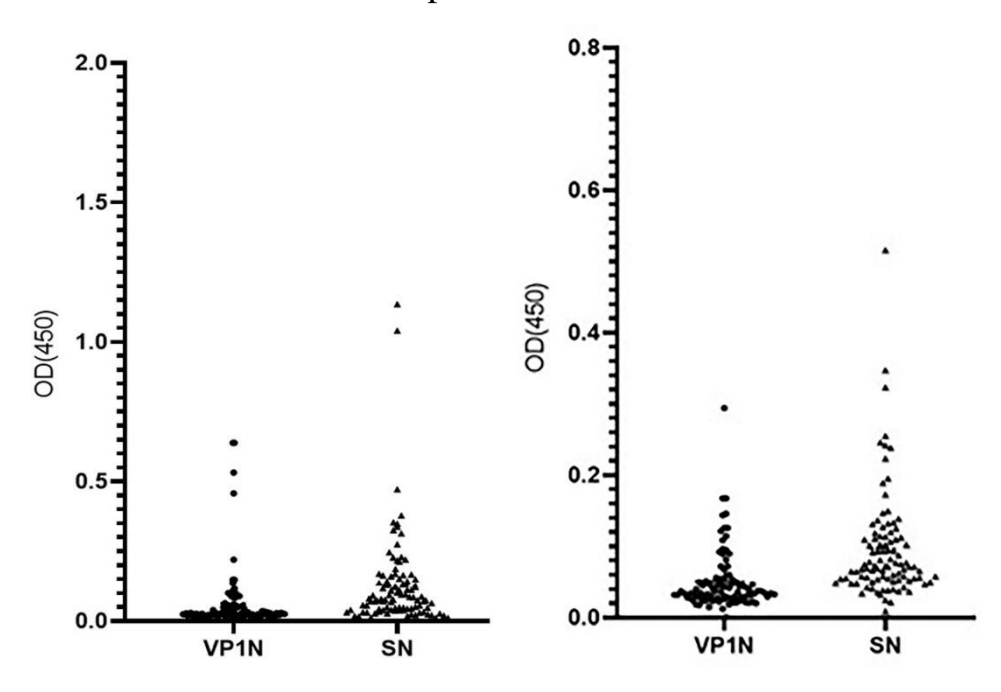
**Рисунок 3.** Трехмерные модели рекомбинантного SN (A) и рекомбинантного VP1 (Б).

**Figure 3.** Three-dimensional models of recombinant SN (A) and recombinant VP1 (B).



**Рисунок 4.** Точечная диаграмма результатов определения AT класса IgG (A) и IgM (B) к рекомбинантным белкам SN и VP1 HB в крови волонтеров.

**Figure 4.** Dot plot of the results of IgG (A) and IgM (B) class antibodies to recombinant SN and VP1 norovirus proteins in the blood of volunteers.



## ТИТУЛЬНЫЙ ЛИСТ МЕТАДАННЫЕ

## Блок 1. Информация об авторе ответственном за переписку

Лапин Владислав Александрович – м.н.с. лаб. иммунохимии ННИИЭМ им.

академика. И.Н. Блохиной Роспотребнадзора, Нижний Новгород, Россия;

адрес: ул. Малая Ямская д. 71, Нижний Новгород, Россия;

телефон: 89101414550;

ORCID: <u>0000-0002-5905-5722</u>

e-mail: fridens.95@yandex.ru

**Lapin Vladislav Alexandrovich** – M.N.S. lab. Immunochemistry of the NNIIEM named after Academician I.N. Blokhina of Rospotrebnadzor, Nizhny Novgorod, Russia;

address: 71 Malaya Yamskaya Str., Nizhny Novgorod 603950, Russian Federation;

telephone: 89101414550;

ORCID: <u>0000-0002-5905-5722</u>

e-mail: fridens.95@yandex.ru

## Блок 2. Информация об авторах

**Новиков Дмитрий Викторович** – к.б.н., в.н.с. лаб. иммунохимии ННИИЭМ им. академика. И.Н. Блохиной Роспотребнадзора, Нижний Новгород, Россия; ORCID: 0000-0001-7049-6935

**Novikov Dmitry Viktorovich** – Candidate of Biological Sciences, V.N.S. lab. Immunochemistry of the NNIIEM named after Academician I.N. Blokhina of Rospotrebnadzor, Nizhny Novgorod, Russia;

ORCID: <u>0000-0001-7049-6935</u>

**Мохонова Екатерина Валерьевна** — н.с. лаб. иммунохимии ННИИЭМ им. академика. И.Н. Блохиной Роспотребнадзора, Нижний Новгород, Россия;

ORCID: 0000-0002-9742-7646

**Mokhonova Ekaterina Valeryevna** – N.S. lab. Immunochemistry of the NNIIEM named after Academician I.N. Blokhina of Rospotrebnadzor, Nizhny Novgorod, Russia;

ORCID: 0000-0002-9742-7646

**Мелентьев Дмитрий Александрович** - м.н.с. лаб. иммунохимии ННИИЭМ им. академика. И.Н. Блохиной Роспотребнадзора, Нижний Новгород, Россия; ORCID: 0000-0002-2441-6874

**Melentyev Dmitry Alexandrovich** - M.N.S. lab. Immunochemistry of the NNIIEM named after Academician I.N. Blokhina of Rospotrebnadzor, Nizhny Novgorod, Russia;

ORCID: <u>0000-0002-2441-6874</u>

**Цыганова Мария Игоревна** - к.б.н., в.н.с. лаб. иммунохимии ННИИЭМ им. академика. И.Н. Блохиной Роспотребнадзора, Нижний Новгород, Россия; ORCID: 0000-0002-2811-6844

**Tsyganova Maria Igorevna** - Candidate of Biological Sciences, V.N.S. lab. Immunochemistry of the NNIIEM named after Academician I.N. Blokhina of Rospotrebnadzor, Nizhny Novgorod, Russia;

ORCID: 0000-0002-2811-6844

**Манакова Эльвира Александровна** – к.м.н., директор по медицинской работе ООО «ТИАС ЛОТУС», Нижний Новгород, Россия

ORCID: 0000-0003-2317-2780

**Manakova E.A.,** PhD (Medicine), Director of Medicine, Doctor of Clinical Laboratory Diagnostic, LLC "Centralized laboratory "AVK Med", Nizhny Novgorod, Russia;

ORCID: 0000-0003-2317-2780

**Новиков Виктор Владимирович** — д.б.н., проф., зав. лаб. иммунохимии ННИИЭМ им. академика. И.Н. Блохиной Роспотребнадзора, Нижний Новгород, Россия

ORCID: 0000-0002-2449-7213

e-mail: mbre@mail.ru

**Novikov Viktor Vladimirovich** – Doctor of Biological Sciences, Professor, Head of the laboratory. Immunochemistry of the NNIIEM named after Academician I.N. Blokhina of Rospotrebnadzor, Nizhny Novgorod, Russia;

ORCID: 0000-0002-2449-7213

e-mail: mbre@mail.ru

## Блок 3. Метаданные статьи

ПОЛУЧЕНИЕ И ХАРАКТЕРИСТИКА РЕКОМБИНАНТНОГО S ДОМЕНА ПОВЕРХНОСТНОГО БЕЛКА VP1 НОРОВИРУСА

PREPARATION AND CHARACTERIZATION OF THE RECOMBINANT S
DOMAIN OF THE NOROVIRUS VP1 SURFACE PROTEIN

## Сокращенное название статьи для верхнего колонтитула:

S ДОМЕН БЕЛКА VP1 НОРОВИРУСА

S DOMAIN OF NOROVIRUS VP1 PROTEIN

**Ключевые слова:** норовирус, S домен VP1, вирусоподобные частицы, антитела, иммуноферментный анализ, вакцины.

**Keywords:** norovirus, S domain VP1, virus-like particles, antibodies, immunoassay, vaccines.

Оригинальные статьи.

Количество страниц текста -10,

количество таблиц -0,

количество рисунков -4.

05.05.2025

## СПИСОК ЛИТЕРАТУРЫ

1	Быков Р.О., Скрябина С.В., Килячина А.С.,	Genetic characterization and	https://microbiol.crie.ru/jour/art
	Итани Т.М., Чалапа В.И., Старикова П.К.,	phylogenetic analysis of human	icle/view/9992
	Колтунов С.В., Пономарева А.В., Семенов	norovirus infection in individual	[DOI:
	А.В. Молекулярно-генетическая	municipalities of the Sverdlovsk region	https://doi.org/10.36233/0372-
	характеристика и филогенетический	in 2022. Journal of Microbiology,	9311-402.]
	анализ возбудителей норовирусной	Epidemiology and Immunobiology. 2023.	
	инфекции человека отдельных		
	муниципалитетов в Свердловской		
	области за 2022 год. Журнал		
	микробиологии, эпидемиологии и		
	иммунобиологии. 2023. Т.100, № 4. С. 306–		
	313.		
2	Лапин В.А., Новиков Д.В., Мохонова Е.В.,	Production of recombinant norovirus	https://microbiol.crie.ru/jour/art
	Мелентьев Д.А., Цыганова М.И., Зайцев	VP1 protein and its antigenic and	icle/view/18687
	Д.Е., Новиков В.В. Получение	immunogenic properties Journal of	[DOI:
	рекомбинантного белка VP1 норовируса и	microbiology, epidemiology and	https://doi.org/10.36233/0372-
	его антигенные и иммуногенные свойства.		9311-552]

	Журнал микробиологии, эпидемиологии и	immunobiology. 2024, vol. 101, no. 5, pp.	
	иммунобиологии. 2024. Т. 101, № 5. С. 661–	661–667.	
	667.		
3	Новиков Д. В., Мелентьев Д. А., Мохонов	Construction of norovirus	https://virusjour.crie.ru/jour/arti
	В. В., Кашников А. Ю., Новикова Н. А.,	(Caliciviridae: Norovirus) virus-like	cle/view/563 [DOI:
	Лапин В. А., Мохонова Е. В., Новиков В. В.	particles containing VP1 of the	https://doi.org/10.36233/0507-
	Получение вирусоподобных частиц	Echovirus 30 (Piconaviri-dae: Entero	4088-79.]
	норовируса, содержащих VP1 эховируса	virus: Enterovirus B). Problems of	
	30. Вопросы вирусологии. 2021; 66(5):383-	Virology. 2021, vol. 66, no. 5, pp.383–9.	
	9.		
4	Талаев В.Ю., Новиков Д.В., Заиченко И.Е.,	Coronavirus spike protein fragment-	https://iimmun.ru/iimm/article/
	Светлова М.В., Воронина Е.В.,	containing chimeric virus-like particles	<u>view/17612</u> [DOI:
	Бабайкина О.Н., Лапин В.А., Мелентьев	stimulate human dendritic cell	10.15789/2220-7619-CSP-
	Д.А., Новикова Н.А., Кашников А.Ю.,	maturation. Russian Journal of Infection	17612]
	Новиков В.В. Химерные вирусоподобные	and Immunity = Infektsiya i immunitet.	
	частицы, содержащие фрагмент белка	2024 vol. 14, no. 2, pp. 227–237.	
	шипа коронавируса, стимулируют		

	созревание дендритных клеток человека.	
	Инфекция и иммунитет. 2024. Т 14, №2.	
	227–237.	
5	Beek J., de Graaf M., Al-Hello H., et al.	https://www.sciencedirect.com/
	Molecular surveillance of norovirus, 2005–16:	science/article/pii/S147330991
	an epidemiological analysis of data collected	8300598?via%3Dihub [DOI:
	from the NoroNet network. Lancet Infect. Dis.	10.1016/S1473-
	2018, vol. 18, no. 5, pp. 545–553.	3099(18)30059-8.]
6	Bertolotti-Ciarlet A., White L.J., Chen R., et	https://journals.asm.org/doi/10.
	al. Structural Requirements for the Assembly	1128/jvi.76.8.4044-4055.2002
	of Norwalk Virus-Like Particles. J Virol.	[DOI: 10.1128/jvi.76.8.4044-
	2002, vol. 76, pp. 4044–4055.	4055.2002.]
7	Black R.E., Perin J., Yeung D., et al.	https://www.thelancet.com/jour
	Estimated global and regional causes of	nals/langlo/article/PIIS2214-
	deaths from diarrhea in children younger than	109X(24)00078-0/fulltext
	5 years during 2000-21: a systematic review	[DOI:

	and Bayesian multinomial analysis. Lancet	https://doi.org/10.1016/S2214-
	Glob. Health. 2024, vol. 12, no. 6, pp. 919-	109X(24)00078-02.]
	928.	
8	Fang H., Tan M., Xia M., et al. Norovirus P	https://journals.plos.org/ploson
	particle efficiently elicits innate, humoral and	e/article?id=10.1371/journal.po
	cellular immunity. <i>PLoS ONE</i> . 2013, vol. 8,	ne.0063269 [DOI:
	no. 4, pp. 63269.	10.1371/journal.pone.0063269.
9	Ford-Siltz L.A. Tohma K., Parra G.I.	https://www.tandfonline.com/d
	Understanding the relationship between	oi/10.1080/19490976.2021.190
	norovirus diversity and immunity gut.	0994?url_ver=Z39.88-
	Microbes. 2021, vol. 13, no. 1, pp. 1-13.	2003𝔯_id=ori:rid:crossref.or
		g𝔯_dat=cr_pub%20%200pu
		bmed#abstract [DOI:
		10.1080/19490976.2021.19009
		94.]

10	Gulati U., Kumari K., Wu W., et al. Amount and avidity of serum antibodies against native glycoproteins and denatured virus after repeated influenza whole-virus vaccination.	https://www.sciencedirect.com/science/article/pii/S0264410X04006802?via%3Dihub [DOI: 10.1016/j.vaccine.2004.08.053]
	Vaccine. 2005, vol. 23, no. 11, pp.1414-1425.	10.1010/j.vaccine.2004.00.033j
11	Hasso-Agopsowicz M., Hwang A., Hollm-	https://www.thelancet.com/jour
	Delgado MG., et al. Identifying WHO global	nals/ebiom/article/PIIS2352-
	priority endemic pathogens for vaccine	3964(24)00460-2/fulltext
	research and development (R&D) using multi-	[DOI:
	criteria decision analysis (MCDA): an	10.1016/j.ebiom.2024.105424.]
	objective of the Immunization Agenda 2030.	
	EBioMedicine. 2024, vol. 110.	
12	Jeon K., Lee S.K., Jeong S., et al. Trends in the	https://www.sciencedirect.com/
	detection of viruses causing gastroenteritis	science/article/pii/S138665322
	over a 10-year period and impact of	4000386?via%3Dihub [DOI:

	nonharmaceutical interventions. J. Clin. Virol.	https://doi.org/10.1016/j.jcv.20
	2024, vol. 172, pp. 105676.	24.105676.]
13	Kanno A., Kazuyamal Y. Immunoglobulin	https://onlinelibrary.wiley.com/
)	G Antibody Avidity Assay for Serodiagnosis	doi/abs/10.1002/jmv.10186?sid
	of Hepatitis C Virus Infection. Journal of	=nlm%3Apubmed [DOI:
	Medical Virology. 2002, vol. 68, no. 2, pp.	10.1002/jmv.10186.]
	229-33.	
14	<u>Li</u> X., <u>Zhou</u> R., Tian X. et al.	https://www.sciencedirect.com/
	Characterization of a cross-reactive	science/article/pii/S016817021
	monoclonal antibody against Norovirus	0001462?via%3Dihub [DOI:
	genogroups I, II, III and V. Virus Res. 2010,	10.1016/j.virusres.2010.04.005.
	vol. 151, no. 2, pp. 142-147.	]

15		https://www.mdpi.com/1999-
	Ludwig-Begall L.F., Mauroy A., Thiry E.	4915/13/8/1541
	Noroviruses — The State of the Art, Nearly	[DOI: 10.3390/v13081541.]
	Fifty Years after Their Initial Discovery.	
	Viruses. 2021, vol. 13, no. 8, pp. 1541.	
16	Parra G. I., Azure J., Fischer R. et al.	https://journals.plos.org/ploson
	Identification of a Broadly Cross-Reactive	e/article?id=10.1371/journal.po
	Epitope in the Inner Shell of the Norovirus	ne.0067592
	Capsid. <i>PLoS One</i> . 2013, vol. 8, no. 6.	[DOI:10.1371/journal.pone.006
		7592]
17	Prasad B.V.V., Hardy M. E., et al. X-ray	https://www.science.org/doi/10
	crystallographic structure of the Norwalk virus	.1126/science.286.5438.287?ur
	capsid. Science. 1999, vol. 286, pp. 287-290.	1_ver=Z39.88-
		2003𝔯_id=ori:rid:crossref.or
		g𝔯_dat=cr_pub%20%200pu

		bmed	[DOI:
		10.1126/science.286.543	38.287]
18		https://www.mdpi.com/1999-	
	Smith H.Q., Smith T.J. The Dynamic	4915/11/3/235	[doi:
	Capsid Structures of the Noroviruses. <i>Viruses</i> .	10.3390/v11030235.]	
	2019, vol. 11, no. 3, pp. 235.		
19	Xia M., Huang P., Sun C., et al.	https://pubs.acs.org/doi/	10.102
	Bioengineered Norovirus S(60) Nanoparticles	1/acsnano.8b02776	[DOI:
	as a Multifunctional Vaccine Platform. ACS	10.1021/acsnano.8b027	76.]
	Nano. 2018, vol. 12, no. 11, pp. 10665-10682.		
20	Yoda T., Suzuki Y., Terano Y. et al. Precise	https://journals.asm.org/	/doi/10.
	Characterization of Norovirus (Norwalk-Like	1128/jcm.41.6.2367-	
	Virus)-Specific Monoclonal Antibodies with	2371.2003?url_ver=Z39	0.88-
	Broad Reactivity. <i>J Clin Microbiol</i> . 2003, vol.	2003𝔯_id=ori%3Ario	d%3Acr
	41, no. 6, pp. 2367–2371.	ossref.org𝔯_dat=cr_p	oub++0

		pubmed	[DOI:
		10.1128/JCM.41.6.2367-	-
		2371.2003.]	
21	Zharova AM.D., Talayev V.Yu., Perenkov	https://operamedphys.org	g/conte
	A.D., et al. In silico analysis of the antigenic	nt/silico-analysis-antigen	nic-
	properties of norovirus GII.4 Sydney [P16]	properties-norovirus-gii4	<b>!-</b>
	VP1 proein. Opera Med.Physiol. 2023, vol.	sydney-p16-vp1-protein-	0
	10, no. 3, pp. 140-151.	[DOI: 10.24412/2500	)-2295-
		2023-3-140-151.]	